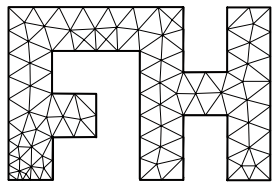


# Schneller als das Licht?

Zur Geschwindigkeit der Übertragung  
elektromagnetischer Wellen

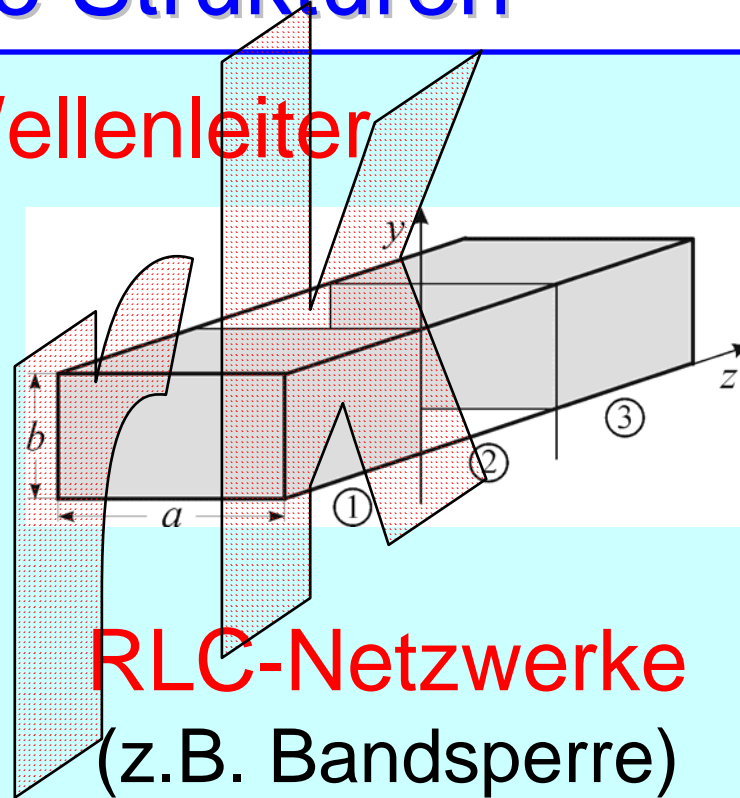
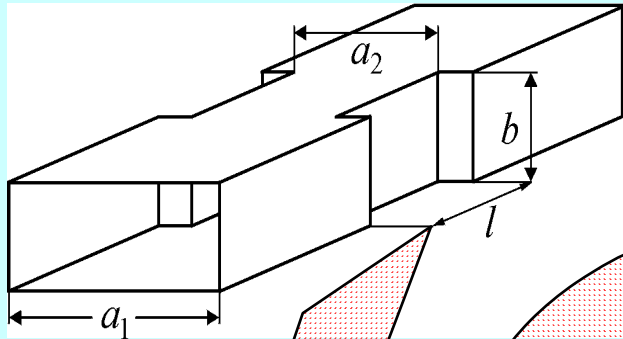
Prof. Dr.-Ing. Klaus W. Kark



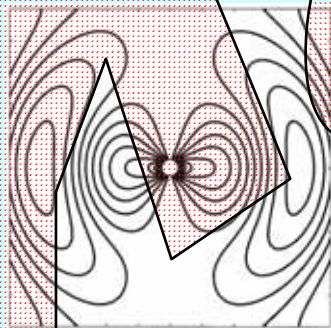
Ravensburg-Weingarten

# Superluminale Strukturen

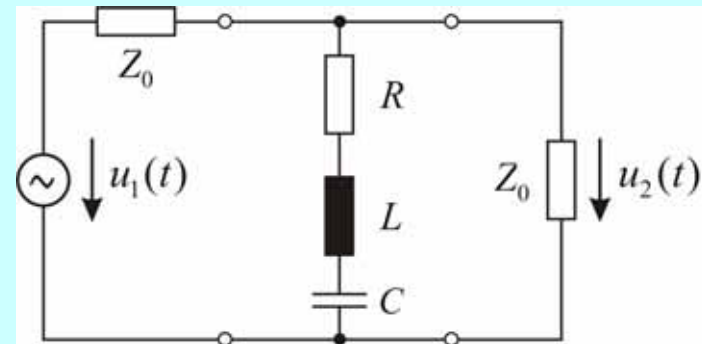
## Cutoff-Wellenleiter



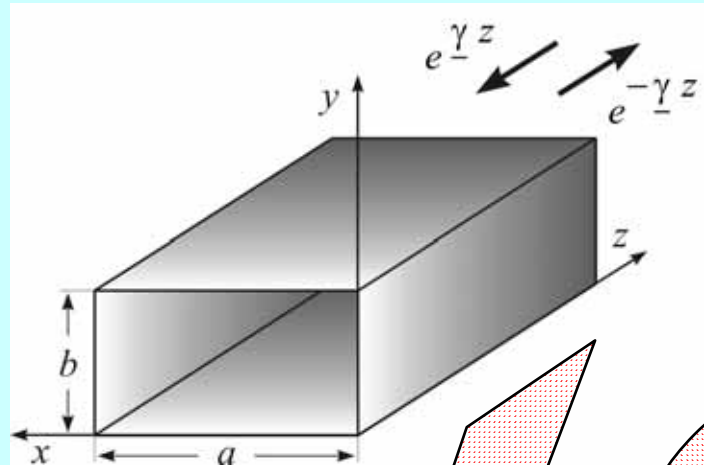
**Antennen-Nahfeld**  
(z.B. Hertzscher Dipol)



**RLC-Netzwerke**  
(z.B. Bandsperre)



# Geschwindigkeitsdefinitionen I



Ausbreitungskonstante  $\underline{\gamma} = \alpha + j\beta$

Dämpfungskonstante  $\alpha(\omega)$

Phasenkonstante  $\beta(\omega) = \frac{2\pi}{\lambda_L(\omega)}$

**Phasengeschwindigkeit**

(d'Alembert 18. Jh.)

$$v_p(\omega) = \frac{\omega}{\beta} = \lambda_L f$$

**Gruppengeschwindigkeit**

(Hamilton 1839, Stokes 1876,  
Rayleigh 1894)

$$v_g(\omega) = \frac{d\omega}{d\beta} = \frac{1}{d\beta/d\omega}$$

**normale Dispersion:  $v_g < v_p$ , anomale Dispersion:  $v_g > v_p$**

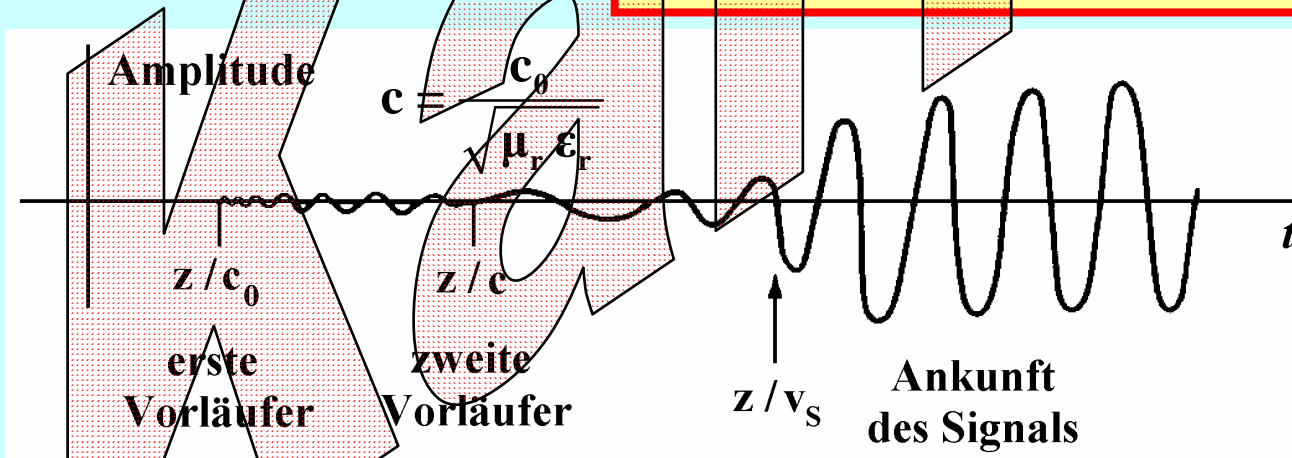
# Geschwindigkeitsdefinitionen II

**Frontgeschwindigkeit**

$$v_F = \lim_{\omega \rightarrow \infty} v_p(\omega) = \lambda_0 f = c_0$$

**Energiegeschwindigkeit**

$$v_E(\omega) = \frac{|\vec{S}_R|}{w} = \frac{\frac{1}{2} |\operatorname{Re}\{\vec{E} \times \vec{H}^*\}|}{\frac{\epsilon}{4} |\vec{E}|^2 + \frac{\mu}{4} |\vec{H}|^2} \leq c_0$$



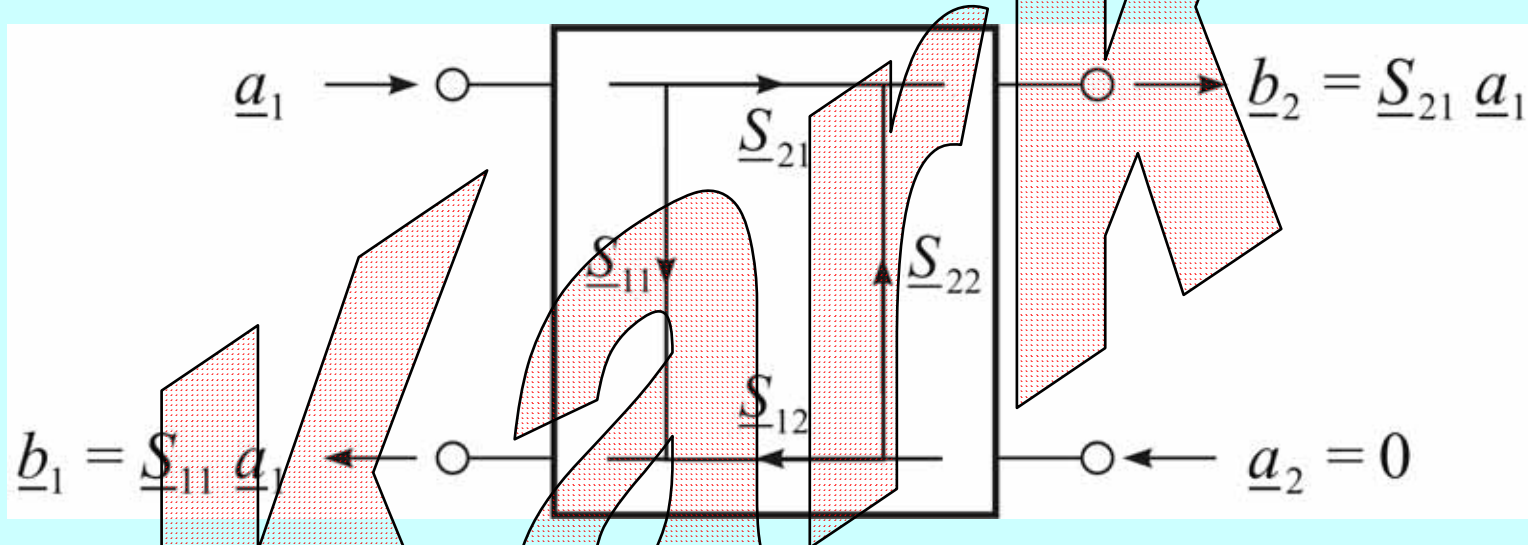
**Sommerfeld Brillouin**  
(1914)

**Stratton**  
(1941)

# Laufzeitdefinitionen I

Übertragungsfunktion

$$\underline{H}(\omega) = |\underline{H}(\omega)| e^{j\Phi(\omega)} = \underline{S}_{21}(\omega)$$



Phasenlaufzeit und Gruppenlaufzeit (Feldtkeller 1935)

$$t_p(\omega) = -\frac{\Phi(\omega)}{\omega}$$

$$t_g(\omega) = -\frac{d\Phi(\omega)}{d\omega}$$

# Laufzeitdefinitionen II

## Impulsantwort

$h(t < 0) = 0$  bei Kausalität

$$h(t) = \frac{1}{2\pi} \int_{-\infty}^{\infty} \underline{H}(\omega) e^{j\omega t} d\omega$$

## Schwerpunktlaufzeit

(Marko 1956)

$$t_s = \frac{\int_0^{\infty} t h(t) dt}{\int_0^{\infty} h(t) dt} = t_g(\omega = 0)$$

## Impulslaufzeit

(Morgenstern 1971)

$$t_i = \frac{\int_0^{\infty} t h^2(t) dt}{\int_0^{\infty} h^2(t) dt} = \frac{\int_0^{\infty} t_g(\omega) |\underline{H}(\omega)|^2 d\omega}{\int_0^{\infty} |\underline{H}(\omega)|^2 d\omega}$$

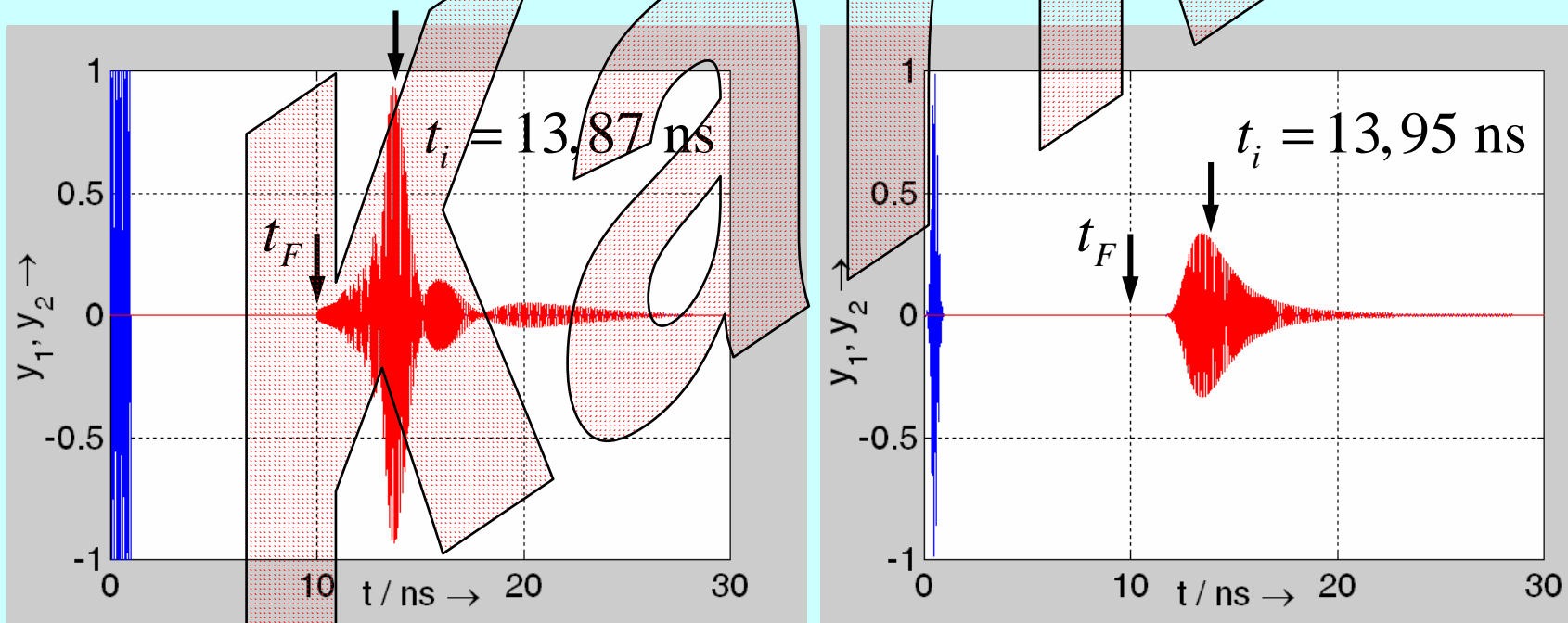
# Dispersion in homogenen Hohlleitern

Al-Rechteckhohlleiter (luftgefüllt, reflexionsfrei abgeschlossen)

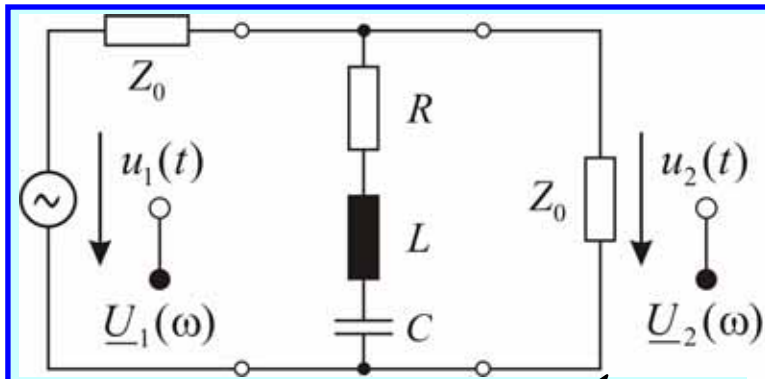
$$a = 2,286 \text{ cm} \quad b = 1,016 \text{ cm} \quad l = 2,998 \text{ m}$$

$$\text{Frontlaufzeit: } t_F = l/c_0 = 10 \text{ ns}$$

Rechteck - und Gaußimpuls mit  $\tau = 1 \text{ ns}$  und  $f_0 = 10 \text{ GHz}$  (X - Band)



# RLC-Filterschaltung (Bandsperr)



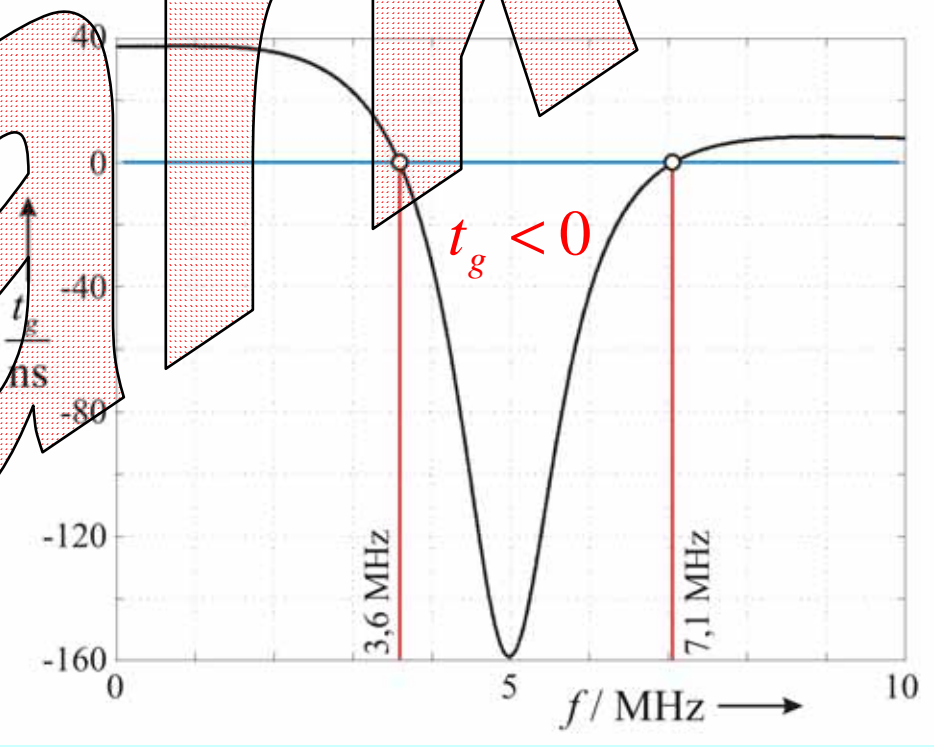
$Z_0 = 75 \Omega, R = 10 \Omega$   
 $L = 1 \mu\text{H}$   
 $C = 1 \text{ nF}$

$f_0 = 5,033 \text{ MHz}$

$$\frac{\underline{U}_2(\omega)}{\underline{U}_1(\omega)} = |\underline{H}(\omega)| e^{j\Phi(\omega)} =$$

$$= \frac{0,5 \cdot \left( \omega^2 - j\omega \frac{R}{L} - \frac{1}{LC} \right)}{\omega^2 - j\omega \frac{R + Z_0/2}{L} - \frac{1}{LC}}$$

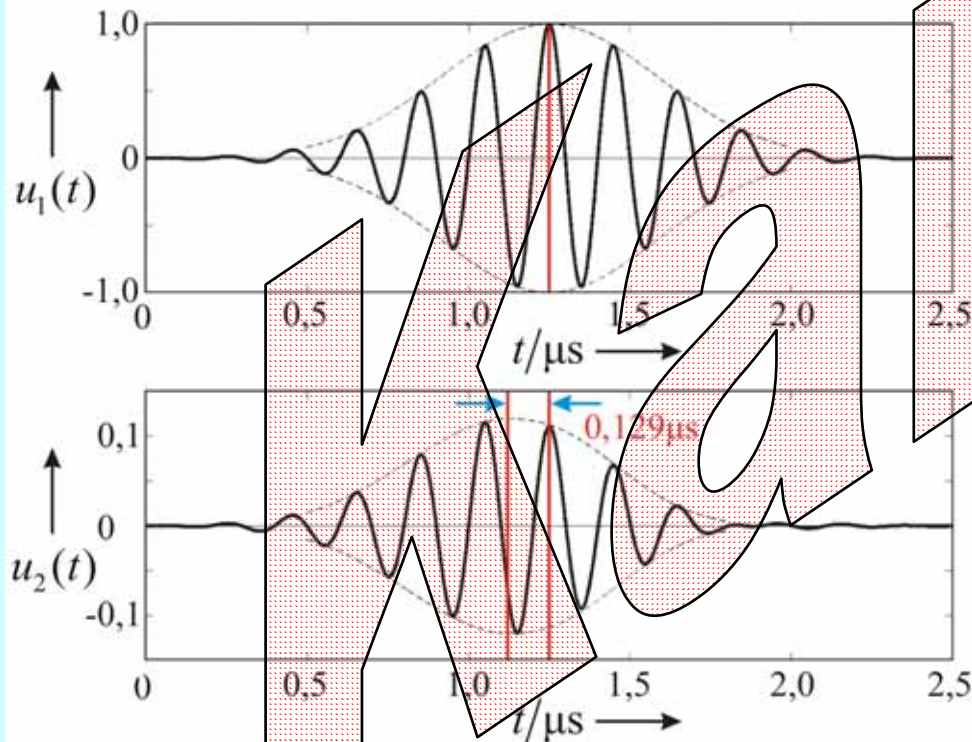
$$t_g(\omega) = -\frac{d\Phi(\omega)}{d\omega}$$





# Bewegung des Energieschwerpunktes

modulierter Gaußimpuls bei  $f_0 = 5 \text{ MHz}$ ,  
60-dB-Breite von  $2,5 \mu\text{s}$



$$\frac{\int_{-\infty}^{\infty} t u_2^2(t) dt}{\int_{-\infty}^{\infty} u_2^2(t) dt} - \frac{\int_{-\infty}^{\infty} t u_1^2(t) dt}{\int_{-\infty}^{\infty} u_1^2(t) dt} = -0,129 \mu\text{s}$$

Impulsverzerrung mit  
Bildung eines früheren  
Schwerpunktes, aber:  
**kausale Übertragung**  
Rupprecht (1961)

# Hohlleiter mit unterbrochenem Stoffeinsatz

$$\omega_c = c_0 \sqrt{(m\pi/a)^2 + (n\pi/b)^2}$$

**Ausbreitungskonstanten:**

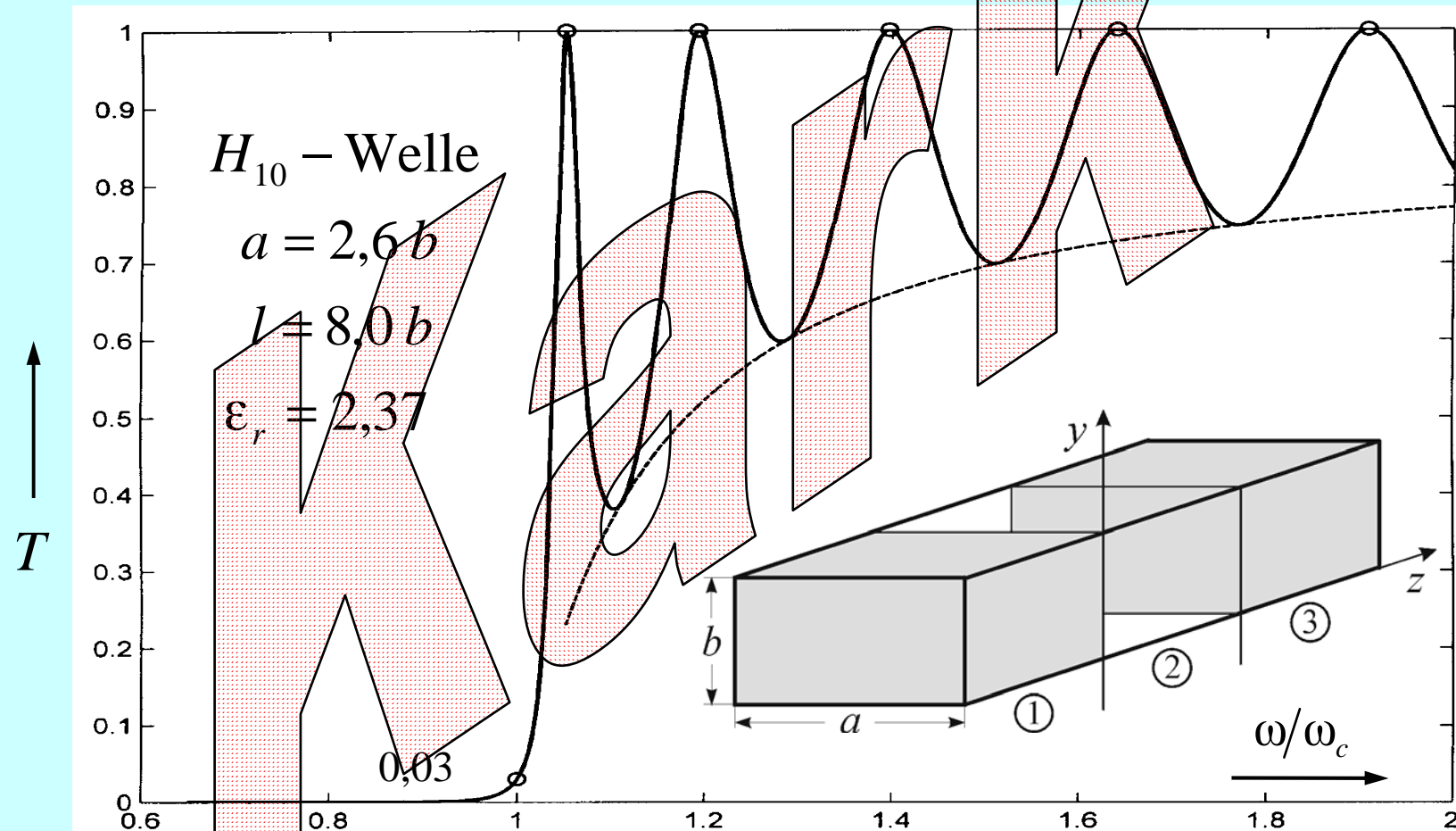
$$\underline{\gamma}_1 = \underline{\gamma}_3 = j\beta_1 = j\sqrt{\epsilon_r \omega^2 - \omega_c^2}/c_0 \quad \text{für } \omega \geq \omega_c/\sqrt{\epsilon_r}$$

$$\underline{\gamma}_2 = \begin{cases} \alpha_2 = \sqrt{\omega_c^2 - \omega^2}/c_0 & \text{für } \omega \leq \omega_c \\ j\beta_2 = j\sqrt{\omega^2 - \omega_c^2}/c_0 & \text{für } \omega \geq \omega_c \end{cases}$$

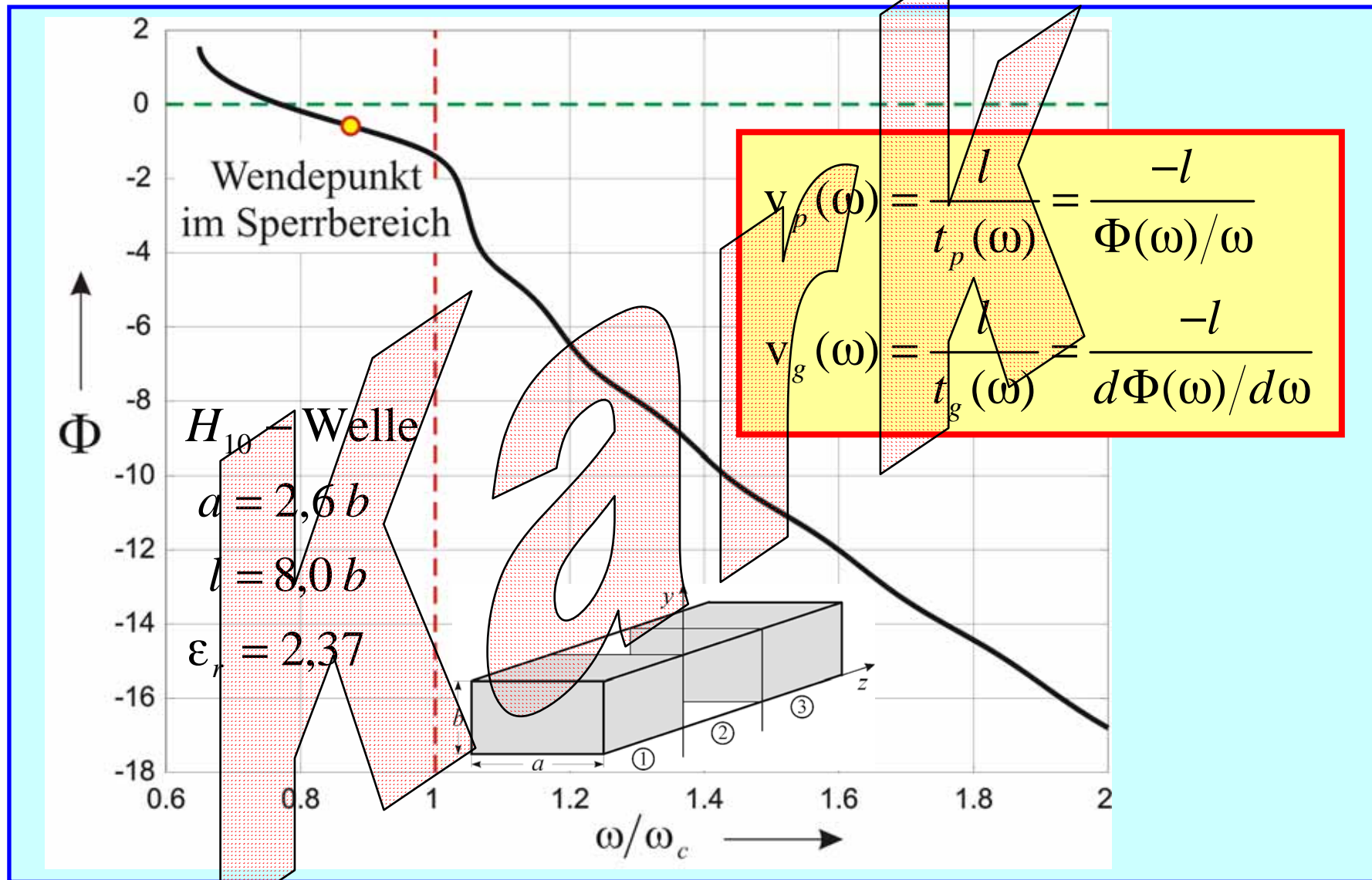
# Die transmittierte Energie $T = |S_{21}|^2$

Sperrbereich  $\frac{\omega_c}{\sqrt{\epsilon_r}} \leq \omega \leq \omega_c$

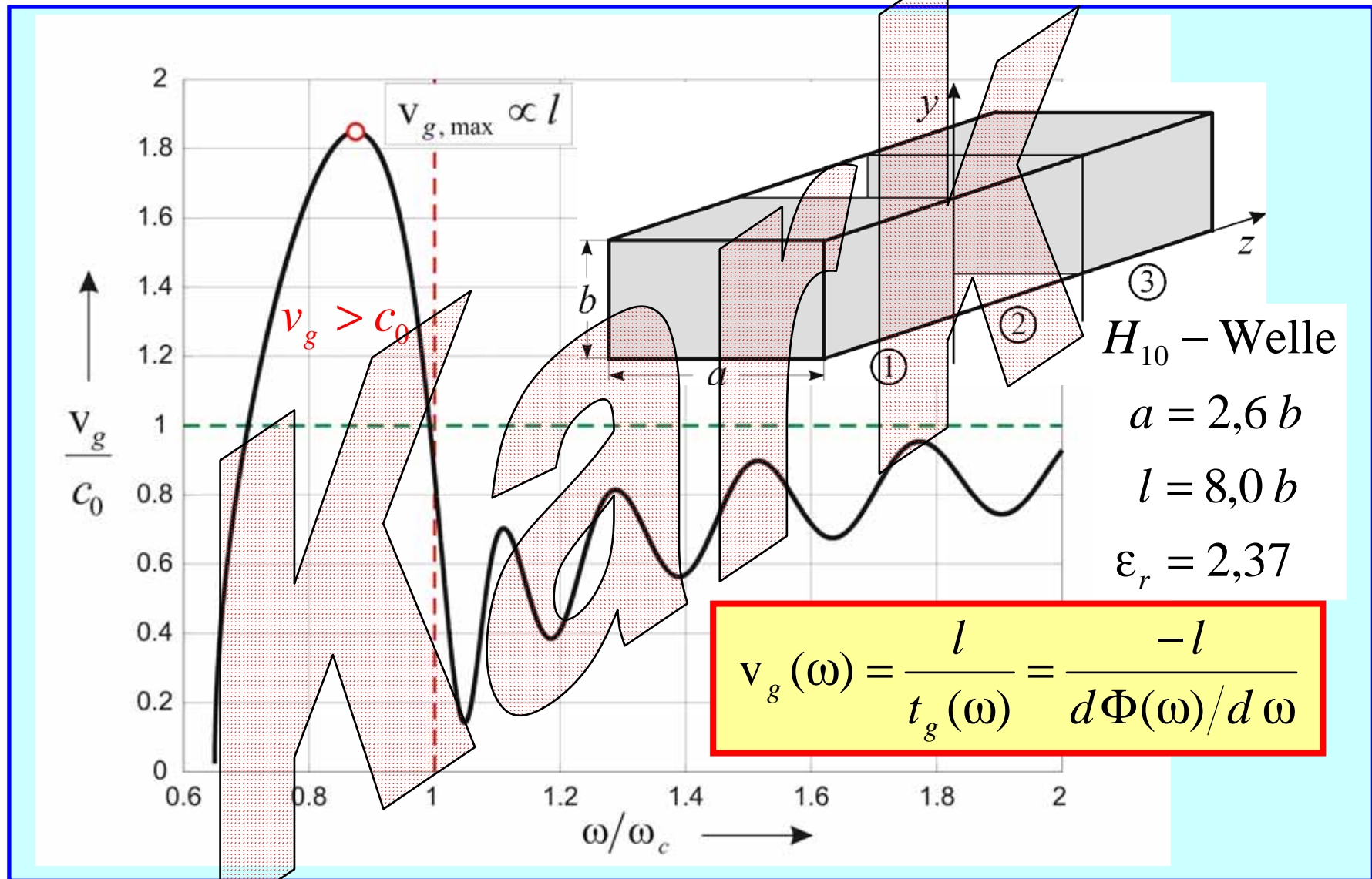
Durchlassbereich  $\omega \geq \omega_c$



# Die Phase $\Phi$ der transmittierten Welle

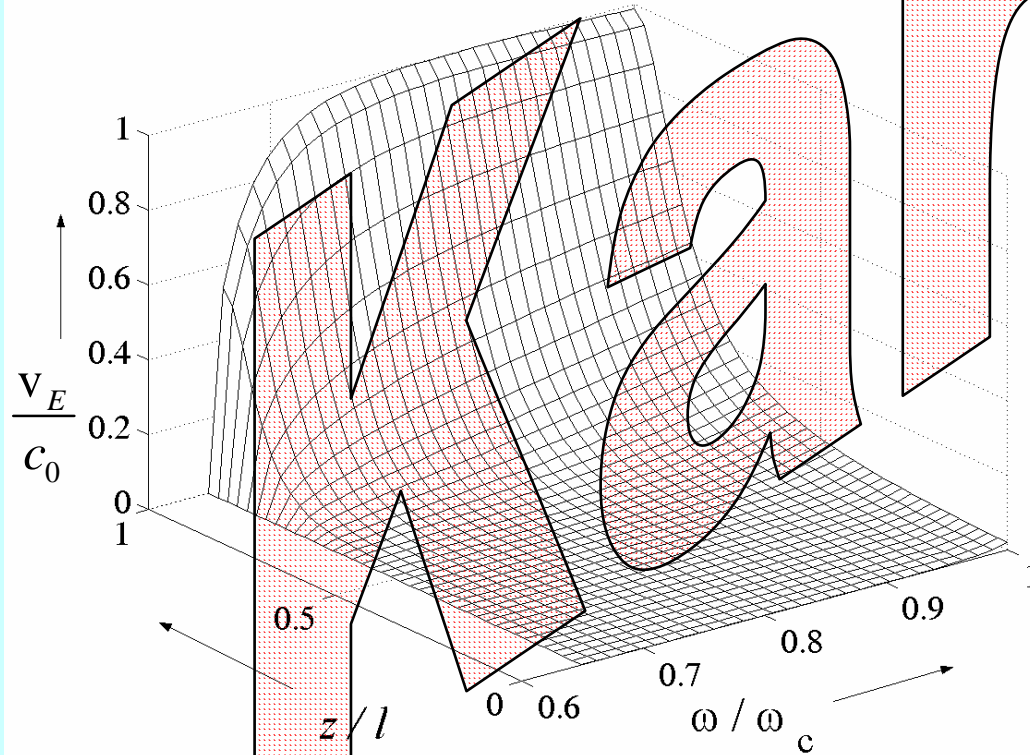


# Die Gruppengeschwindigkeit



# Die Energiegeschwindigkeit

$$v_E \left( \omega, z, x = \frac{a}{2} \right) = \frac{\frac{1}{2} \left| \operatorname{Re} \{ \underline{\vec{E}} \times \underline{\vec{H}}^* \} \right|}{\frac{\epsilon}{4} |\underline{\vec{E}}|^2 + \frac{\mu}{4} |\underline{\vec{H}}|^2} \leq c_0$$



$$a = 2,286 \text{ cm}$$

$$b = 1,016 \text{ cm}$$

$$l = 5 \text{ cm}$$

$$\epsilon_r = 2,56$$

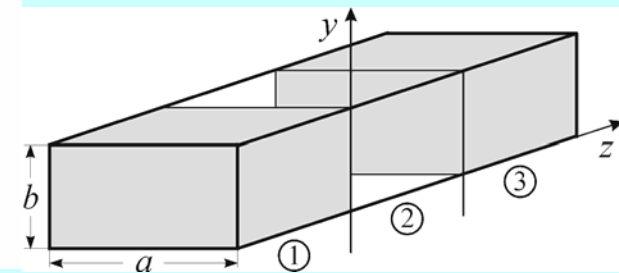
$$f_{c,1} = 4,098 \text{ GHz}$$

$$f_{c,2} = 6,557 \text{ GHz}$$

**cos<sup>2</sup> - Impuls**

$$f_0 = 6 \text{ GHz} = 0,915 f_{c,2}$$

$$\tau = 4 \text{ ns}$$

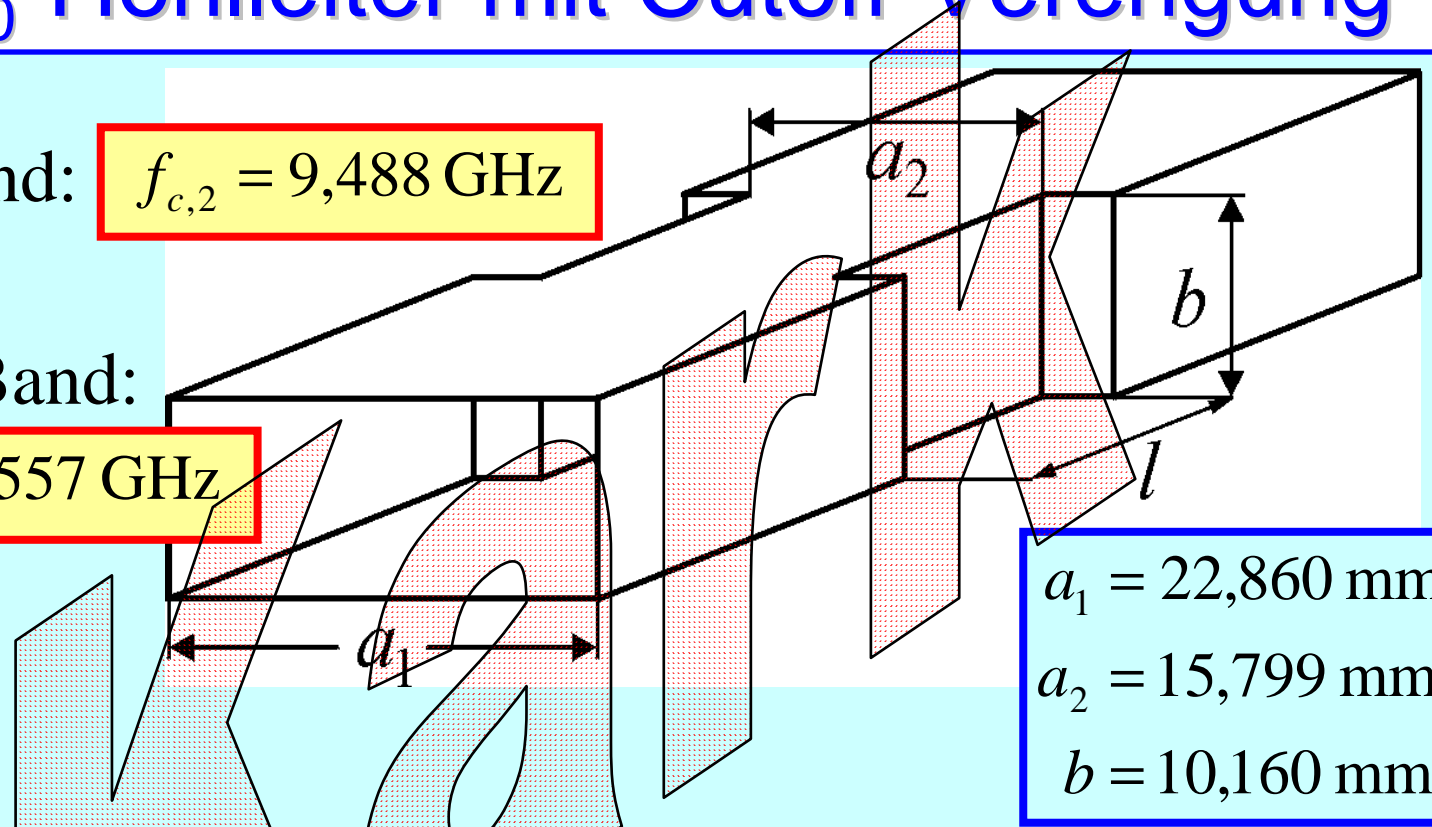


# H<sub>10</sub>-Hohlleiter mit Cutoff-Verengung

Ku-Band:  $f_{c,2} = 9,488 \text{ GHz}$

X-Band:

$f_{c,1} = 6,557 \text{ GHz}$

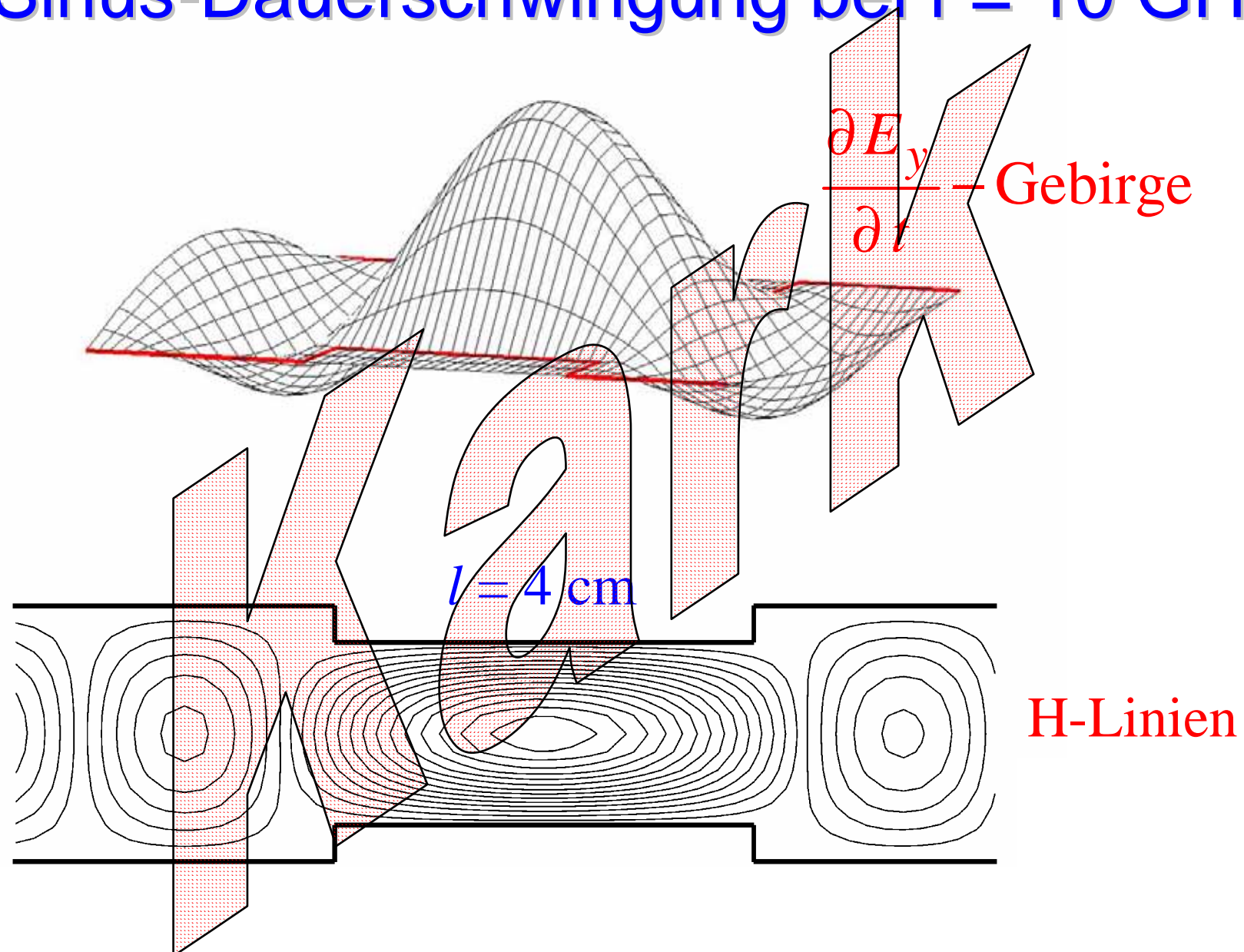


$a_1 = 22,860 \text{ mm}$   
 $a_2 = 15,799 \text{ mm}$   
 $b = 10,160 \text{ mm}$

Ungerade  $H_{m0}$ -Wellen ( $m = 1, 3, 5, \dots$ )

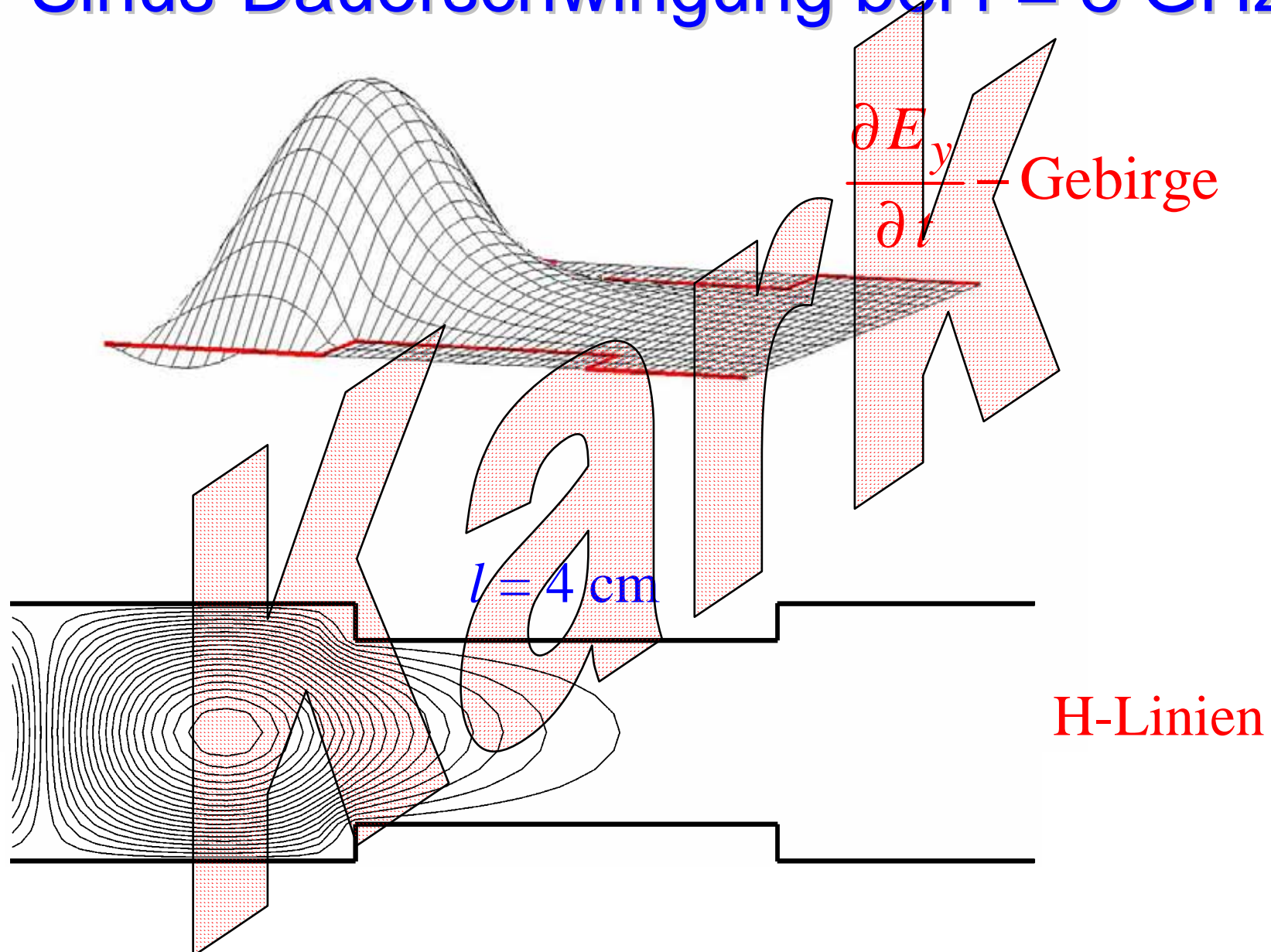
$$\underline{A}_z = \sum_{m=1}^{\infty} \cos \frac{m \pi x}{a} \left( \underline{a}_m e^{-\gamma_m z} + \underline{b}_m e^{\gamma_m z} \right)$$

# Sinus-Dauerschwingung bei $f = 10$ GHz

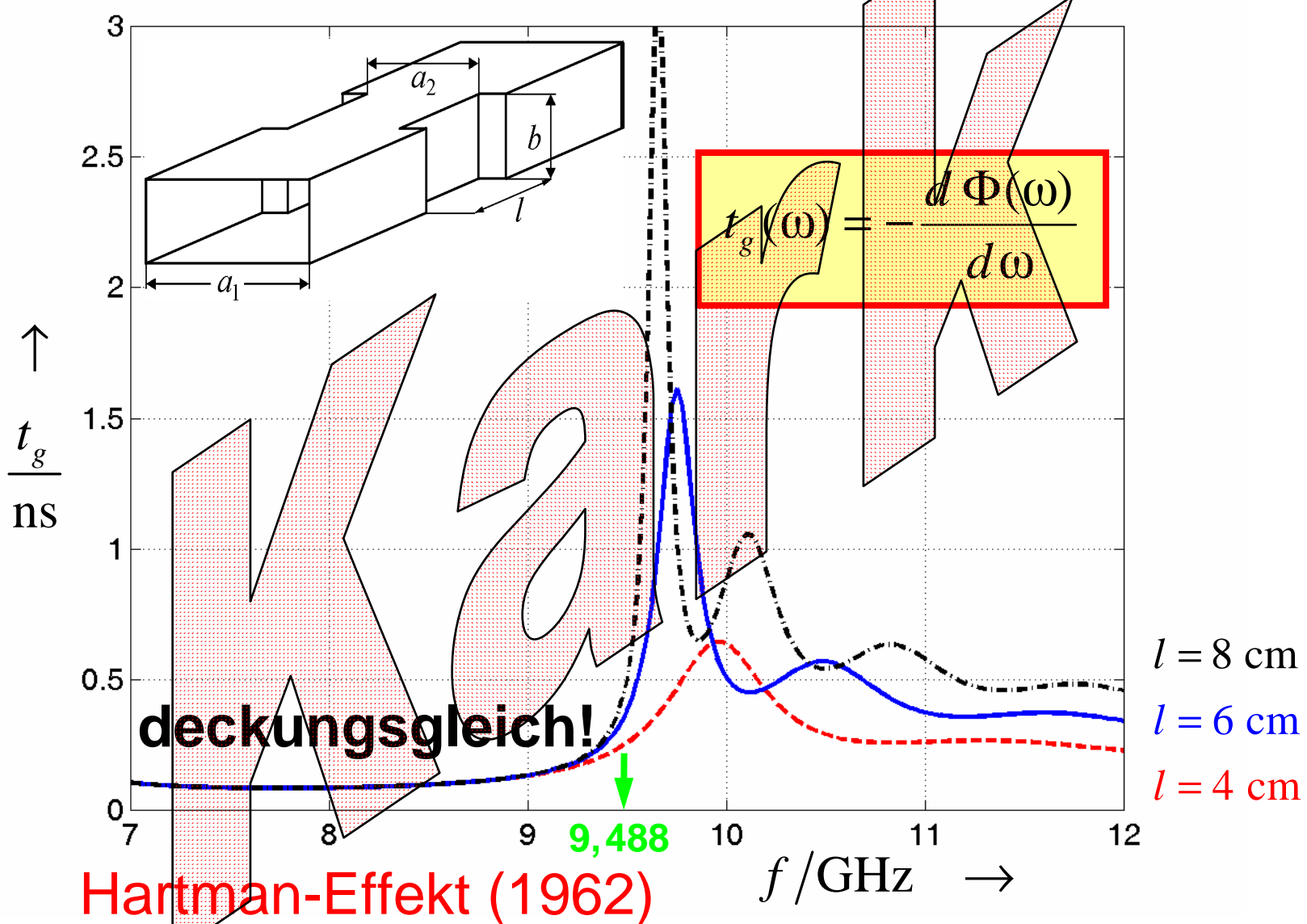




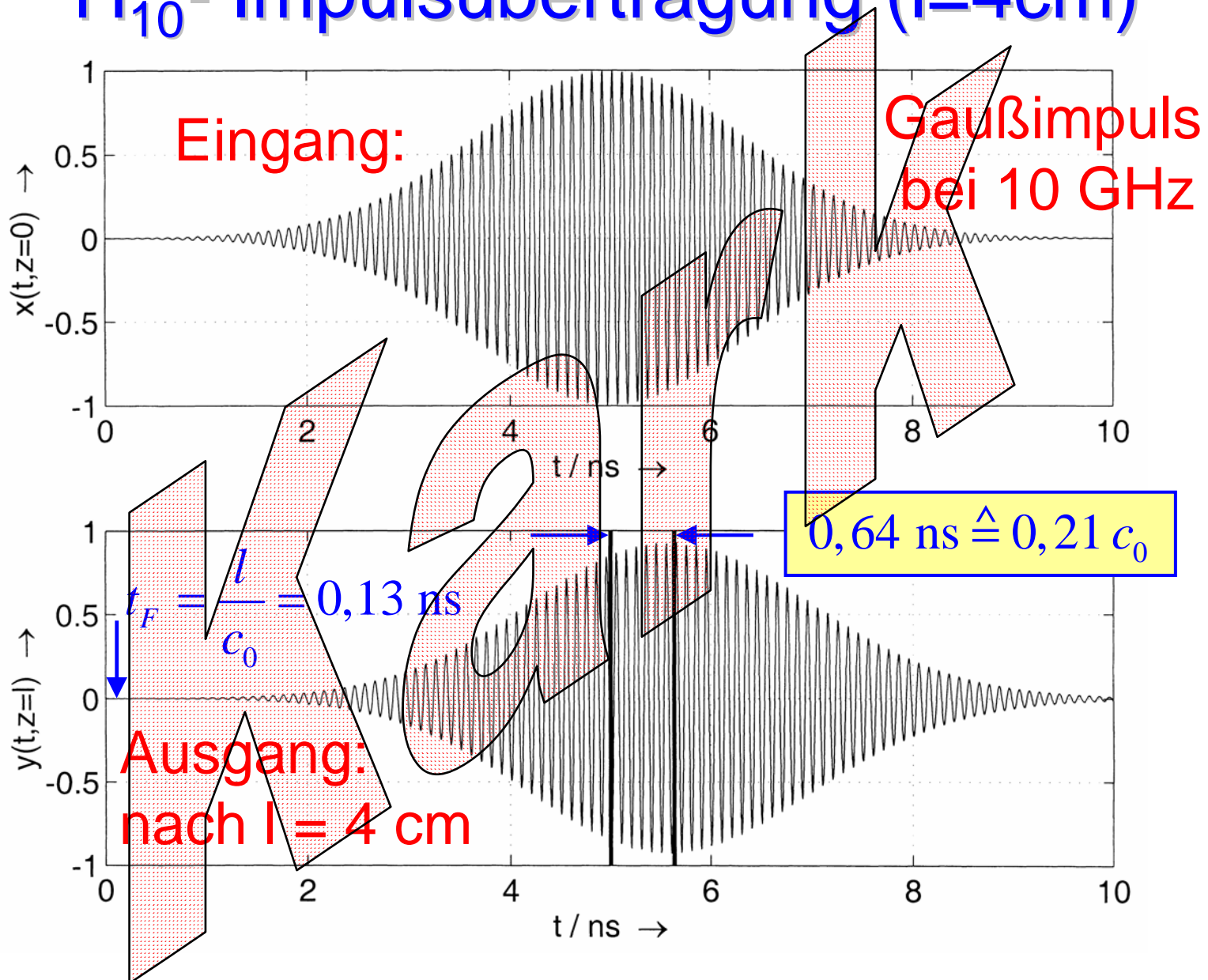
# Sinus-Dauerschwingung bei $f = 8$ GHz



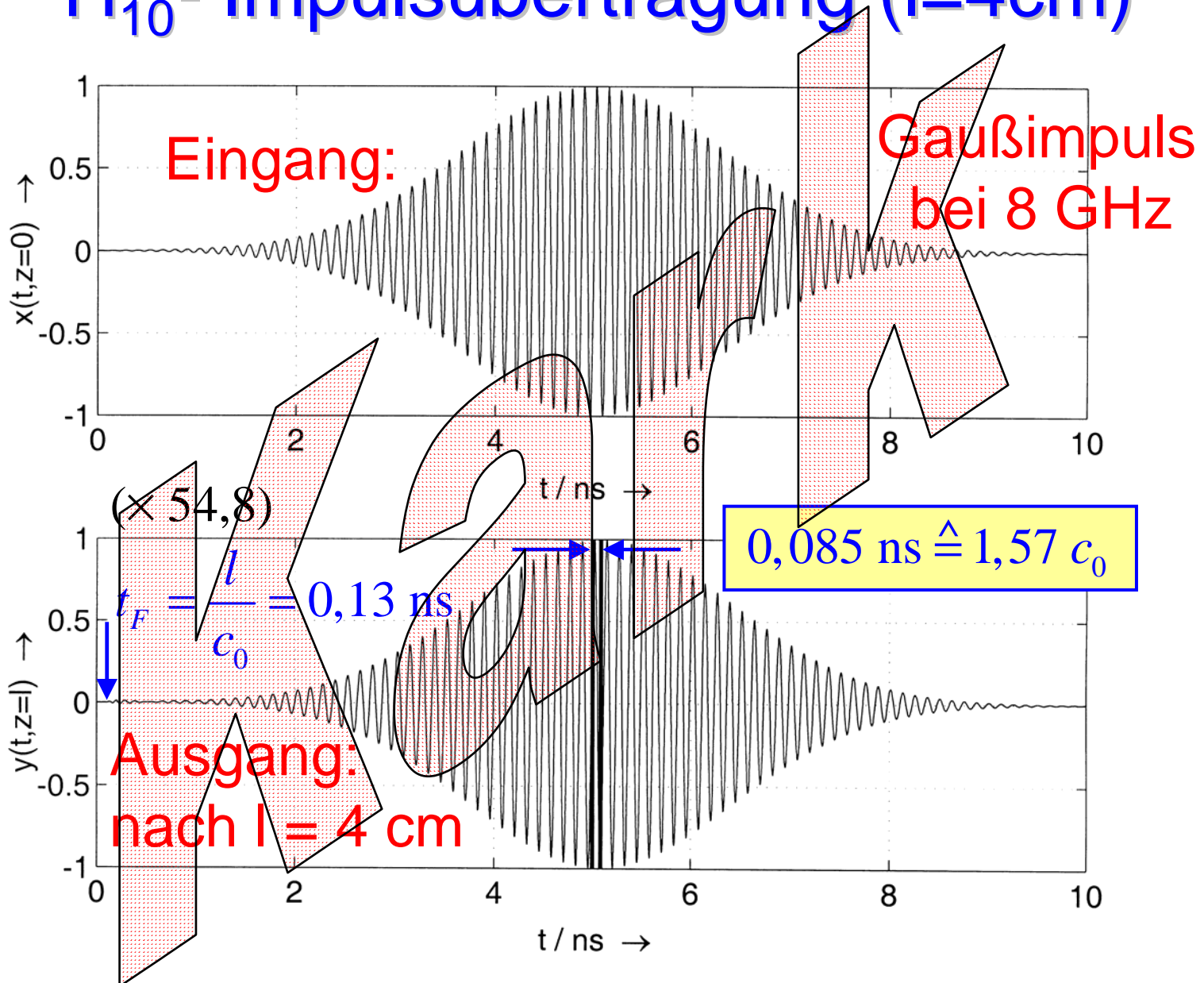
# Die Gruppenlaufzeit



# H<sub>10</sub>- Impulsübertragung (l=4cm)



# H<sub>10</sub>- Impulsübertragung (l=4cm)



# Superluminales Tunneln – kausal?

**Frontlaufzeit** (wächst mit Tunnellänge)

$$t_F = l/c_0$$

**Gruppenlaufzeit** (konstant im Sperrbereich)

$$t_g = 85 \text{ ps}$$

60 dB – **Impulsdauer** (Impulsmitte bei  $\tau/2$ )

$$\tau = 10 \text{ ns}$$

Ab welcher Tunnellänge wird  $t_F > \frac{\tau}{2} + t_g$  ?

$$l > c_0 \left( \frac{\tau}{2} + t_g \right) = 1,52 \text{ m}$$

Wie stark ist dann die **Dämpfung** bei  $f = 8 \text{ GHz}$  ?

mit  $\alpha_2 = \sqrt{\omega_{c,2}^2 - \omega^2} / c_0$ ,  $l = 1,52 \text{ m}$  wird  $20 \lg e^{\alpha_2 l} = 1412 \text{ dB}$

# Kaiser-Bessel Burst im Tunnelhohlleiter

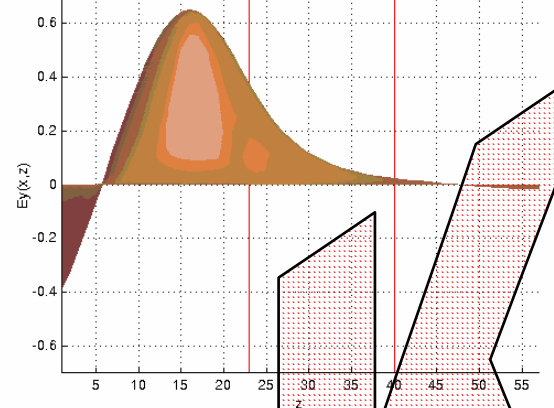
$\tau = 3 \text{ ns}$  und  $l = 3 \text{ cm}$

$f_0 = 8 \text{ GHz}$

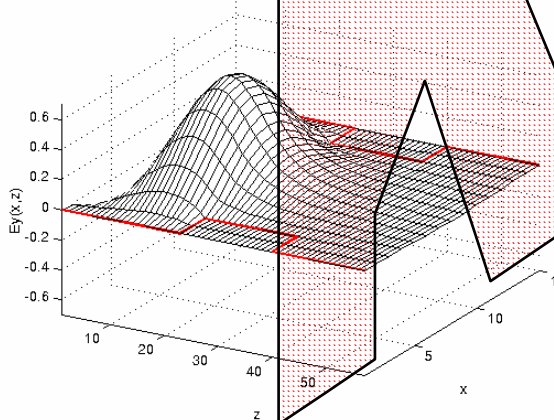
$f_0 = 10 \text{ GHz}$

$f_0 = 15 \text{ GHz}$

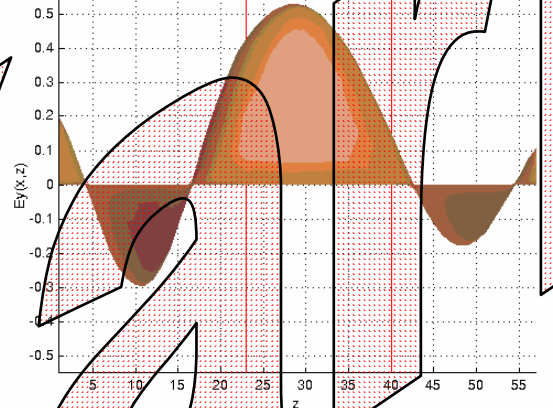
$E_y(x,z)$ -Gebirge im Tunnelhohlleiter [ $l=3\text{cm}$ , Kaiser-Burst,  $t_f = 3\text{ns}$ ,  $f_m = 8\text{GHz}$ ]



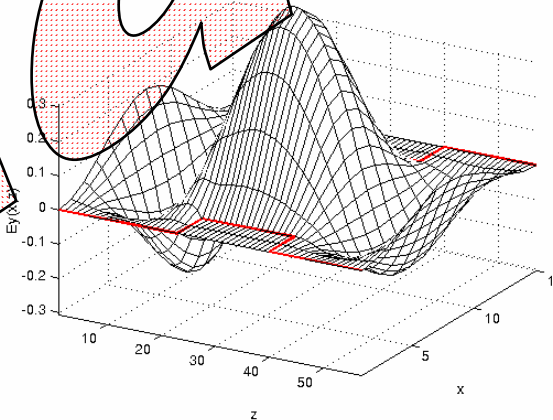
$E_y(x,z)$ -Gebirge im Tunnelhohlleiter [ $l = 3\text{cm}$ , Kaiser-Burst,  $t_f = 3\text{ns}$ ,  $f_m = 8\text{GHz}$ ]



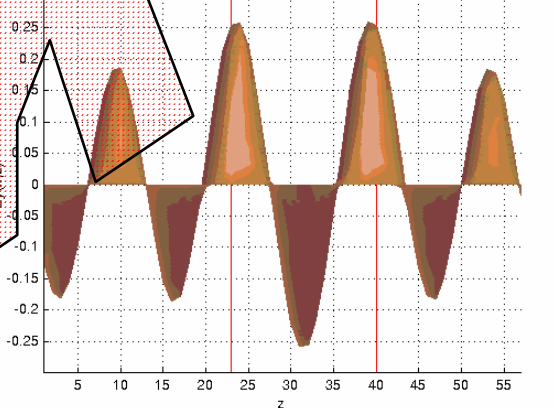
$E_y(x,z)$ -Gebirge im Tunnelhohlleiter [ $l=3\text{cm}$ , Kaiser-Burst,  $t_f = 3\text{ns}$ ,  $f_m = 10\text{GHz}$ ]



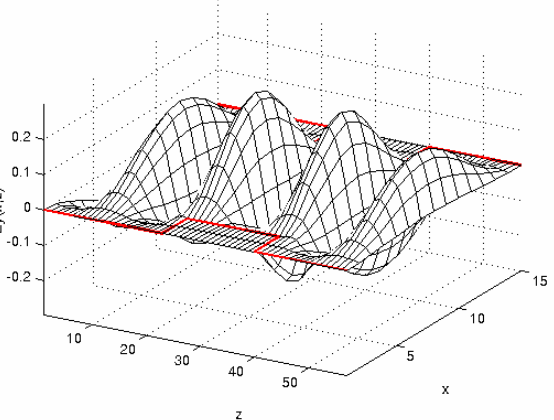
$E_y(x,z)$ -Gebirge im Tunnelhohlleiter [ $l = 3\text{cm}$ , Kaiser-Burst,  $t_f = 3\text{ns}$ ,  $f_m = 10\text{GHz}$ ]



$E_y(x,z)$ -Gebirge im Tunnelhohlleiter [ $l=3\text{cm}$ , Kaiser-Burst,  $t_f = 3\text{ns}$ ,  $f_m = 15\text{GHz}$ ]

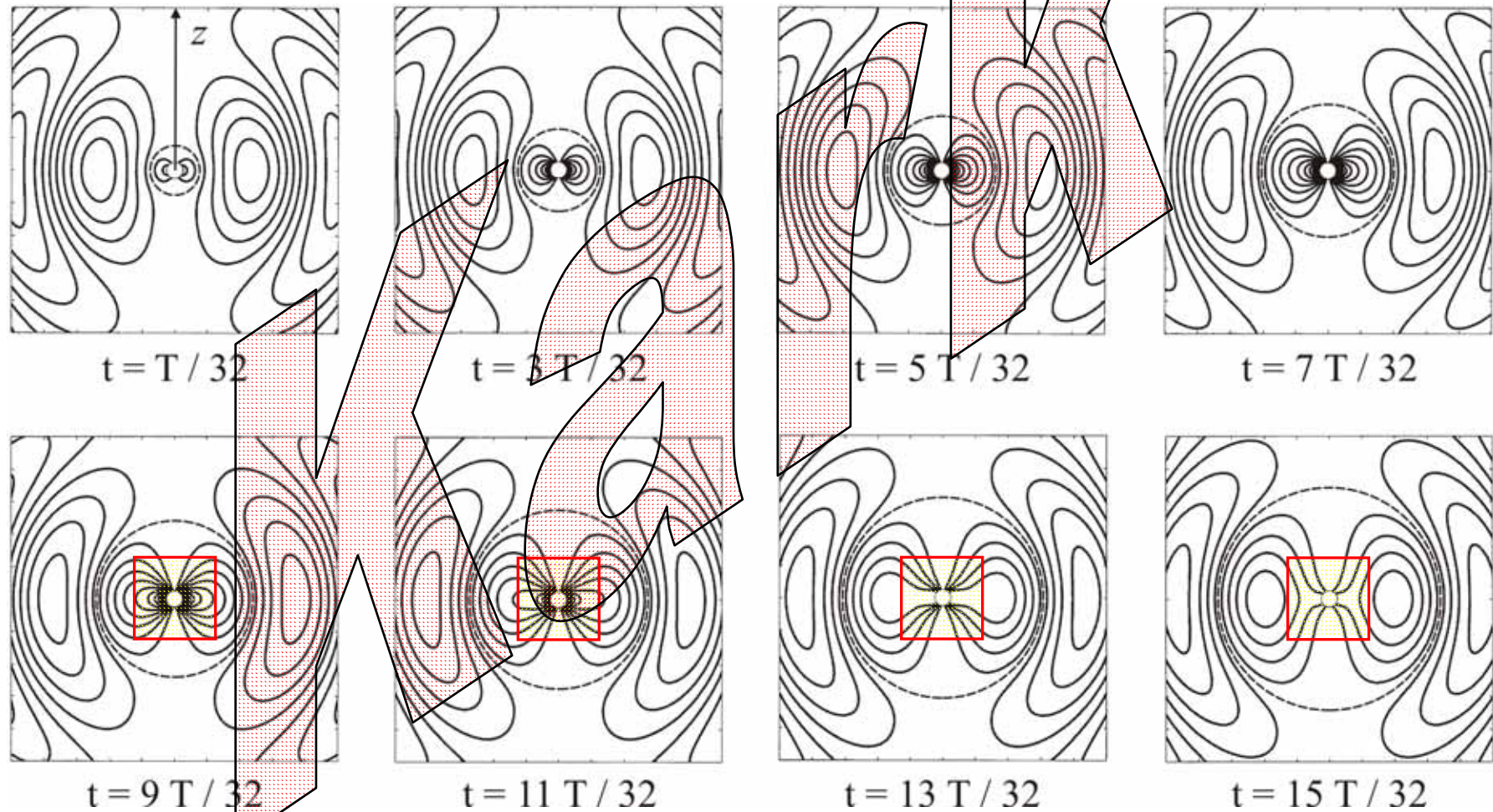


$E_y(x,z)$ -Gebirge im Tunnelhohlleiter [ $l = 3\text{cm}$ , Kaiser-Burst,  $t_f = 3\text{ns}$ ,  $f_m = 15\text{GHz}$ ]



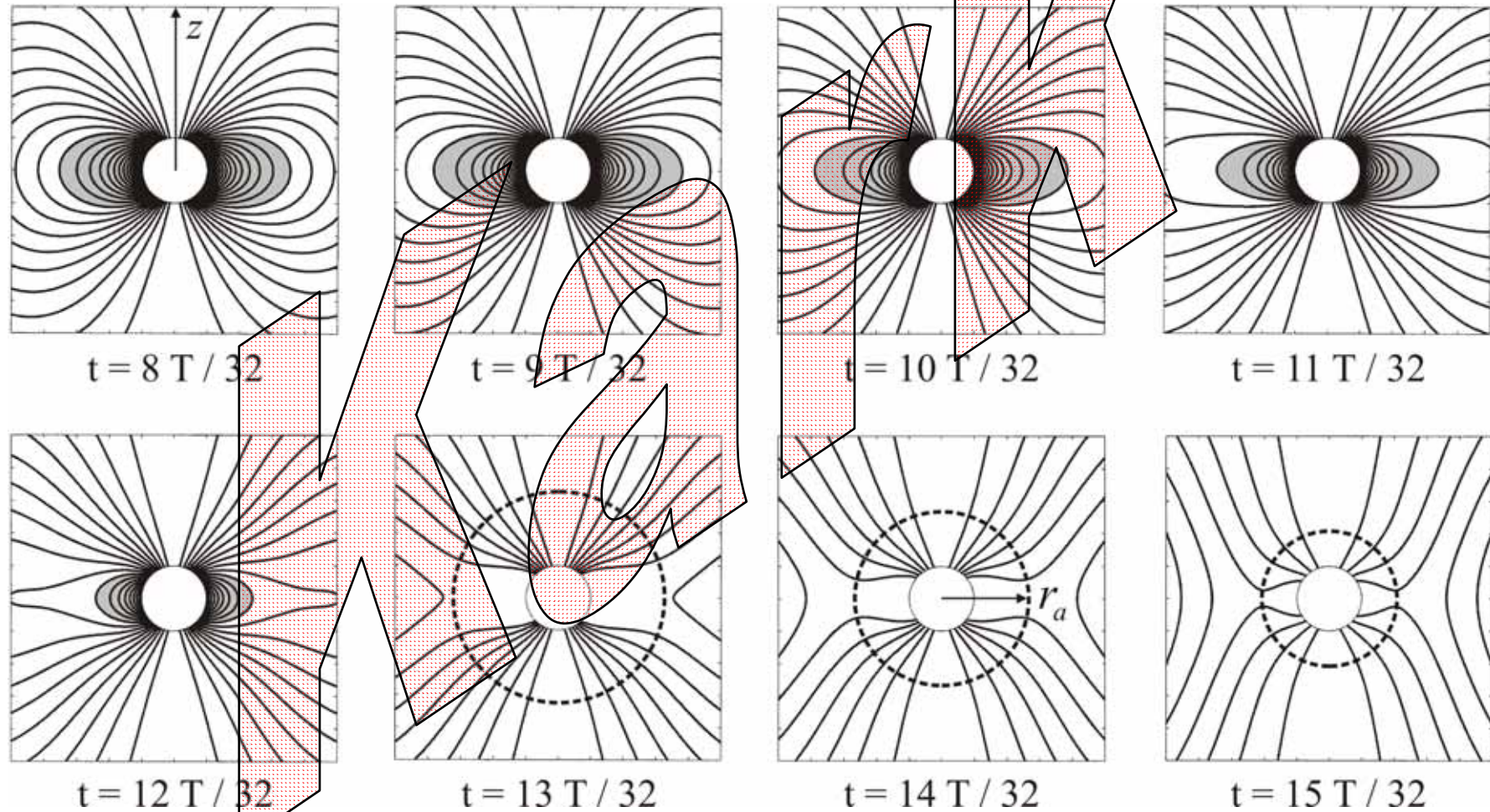
# Hertzscher Dipol – elektrische Feldlinien

Darstellungsbereich:  $r \leq \lambda_0$



# Hertzscher Dipol – elektrische Feldlinien

Darstellungsbereich:  $r \leq \lambda_0/4$





# Phasengeschwindigkeit der Dipolstrahlung

$$E_{\vartheta} = E_0 \frac{\sin \vartheta}{k_0 r} \sqrt{1 - \frac{1}{(k_0 r)^2} + \frac{1}{(k_0 r)^4}} \sin(\Phi(r, t))$$

$$\Phi(r, t) = \omega t - k_0 r + \arctan\left(k_0 r - \frac{1}{k_0 r}\right)$$

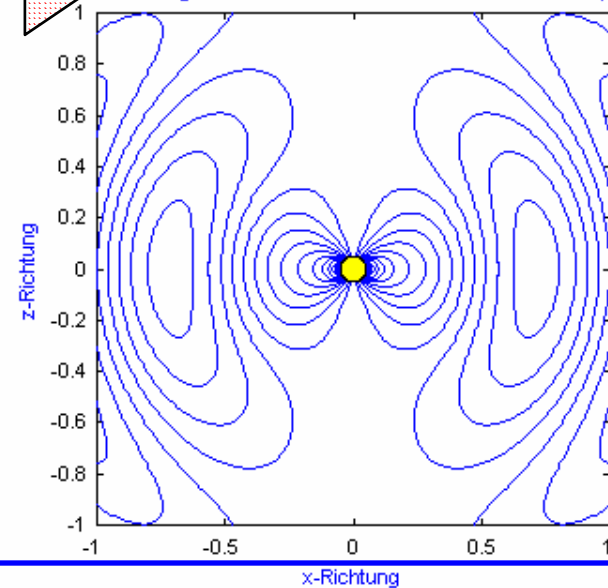
$$d\Phi = \frac{\partial \Phi}{\partial t} dt + \frac{\partial \Phi}{\partial r} dr = 0$$

$$v_p = \frac{dr}{dt} = - \frac{\partial \Phi / \partial t}{\partial \Phi / \partial r}$$

(Pol bei  $k_0 r = \sqrt{2}$ )

$$v_p(r) = c_0 \left( 1 - \frac{1 + (k_0 r)^2}{2(k_0 r)^2 - (k_0 r)^4} \right) = \frac{\omega}{\beta(r)}$$

Abstrahlungsverhalten des HERTZschen Dipols



# Gruppen- und Energiegeschwindigkeit

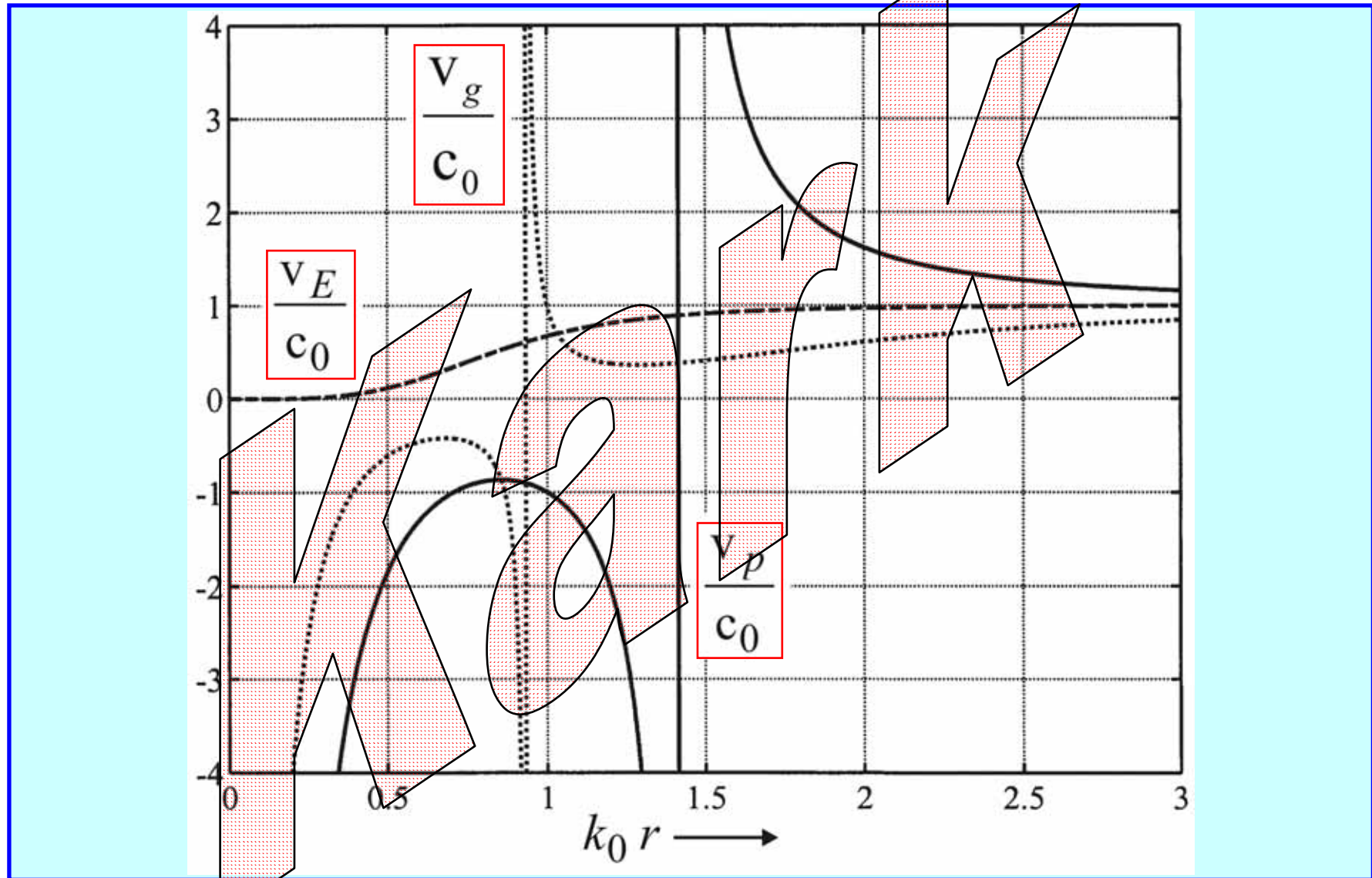
$$\beta(r) = \frac{2\pi}{\lambda(r)} = k_0 \left( 1 - \frac{1 + (k_0 r)^2}{1 - (k_0 r)^2 + (k_0 r)^4} \right) \quad k_0 r \gg 1 \quad k_0 = \frac{2\pi}{\lambda_0}$$

$$v_g(r) = \frac{\partial \omega}{\partial \beta(r)} = c_0 \left( 1 + \frac{1 + 4(k_0 r)^2 - 4(k_0 r)^4 - (k_0 r)^6}{-6(k_0 r)^2 + 7(k_0 r)^4 - (k_0 r)^6 + (k_0 r)^8} \right)$$

(Pol bei  $k_0 r \approx 0,933$ )

$$v_E(r) = c_0 \frac{2 \operatorname{Re} \{ \underline{E}_\vartheta Z_0 \underline{H}_\vartheta^* \}}{|\underline{E}_\vartheta|^2 + Z_0^2 |\underline{H}_\vartheta|^2} = \frac{c_0}{1 + \frac{1}{2(k_0 r)^4}} \leq c_0 \quad \text{für } \vartheta = \frac{\pi}{2}$$

# Wellengeschwindigkeiten – Dipolstrahlung



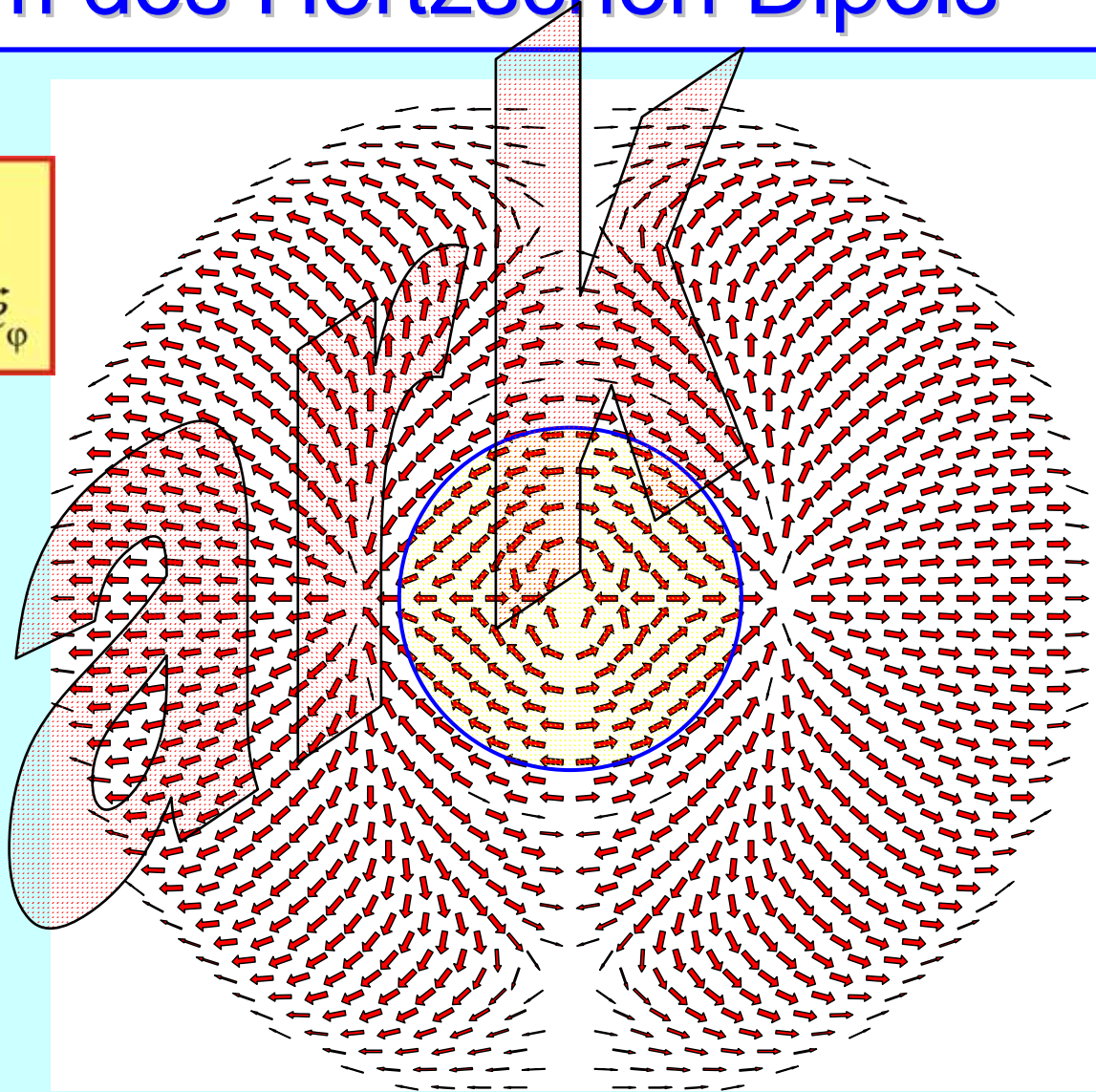
# Energiestrom des Hertzschen Dipols

$$\vec{S}(t) = \vec{E}(t) \times \vec{H}(t) = (E_r \vec{e}_r + E_\vartheta \vec{e}_\vartheta) \times H_\varphi \vec{e}_\varphi$$

radiale und  
meridionale  
Komponenten

$$r \leq 0,9 \lambda_0$$

$$t = \frac{7}{16} T$$



# Energiestrom des Hertzschen Dipols

$$r \leq 0,3 \lambda_0$$

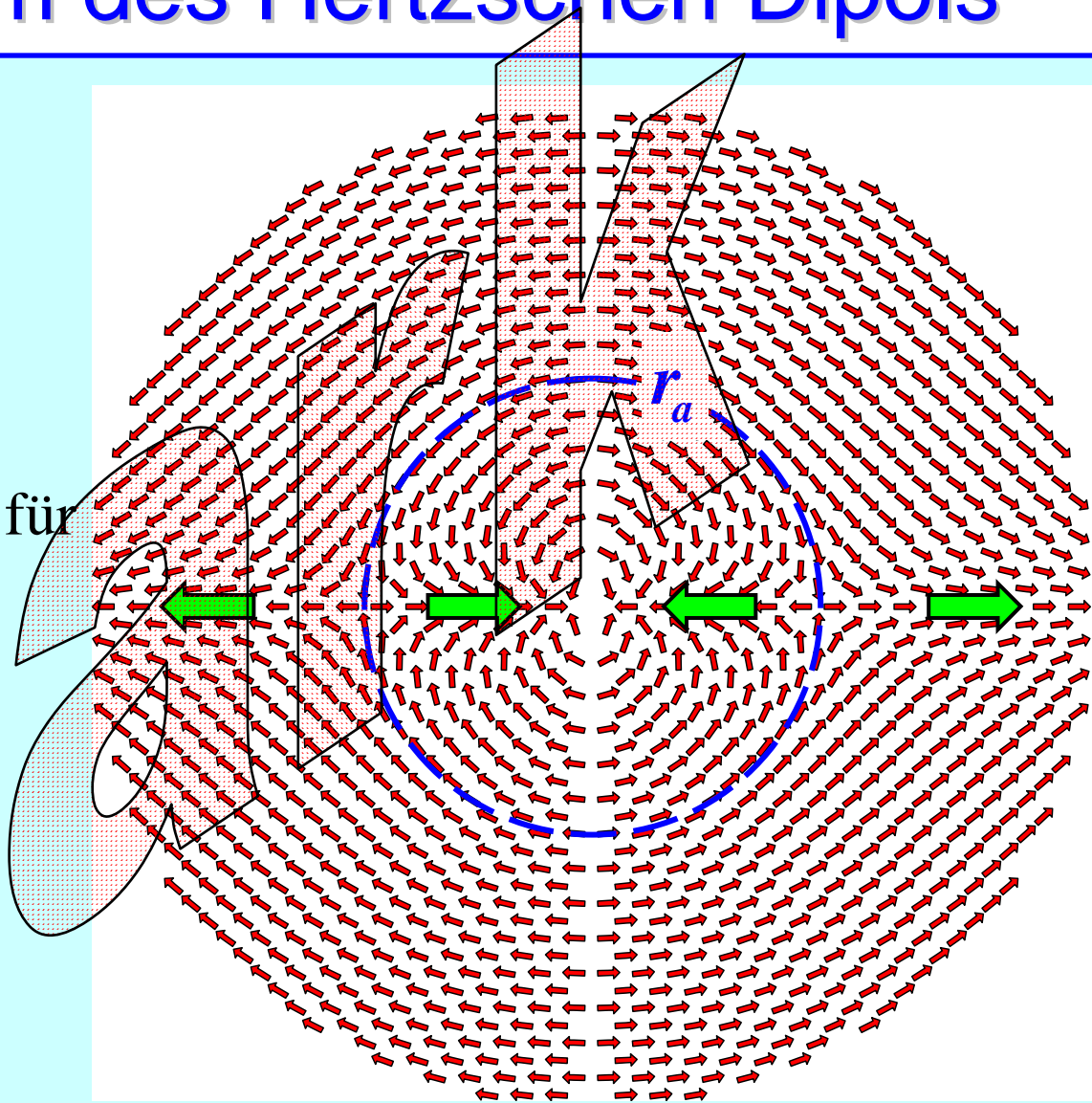
$$t = \frac{7}{16} T$$

Rückfluss der Energie für

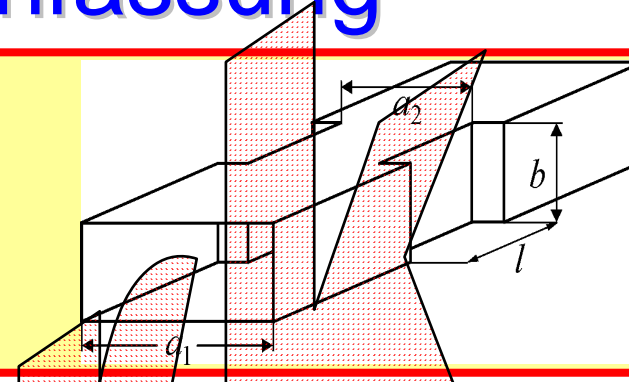
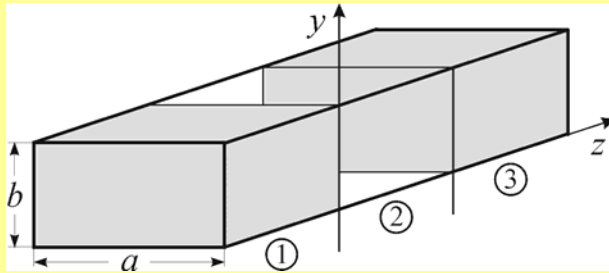
$$\frac{6}{16} T < t < \frac{8}{16} T$$

Abschnürradius

$$\sqrt{2} \geq k_0 r_a \geq 0$$



# Zusammenfassung



- Evaneszente Moden in Hohlleitern
- Superluminales Impulsmaximum ( $v_g > c_0$ )
- Filter mit negativer Gruppenlaufzeit ( $t_g < 0$ )
- Antennen-Nahfelder ( $-\infty < v_{g,p} < \infty$ )
- **Kausale** Signalübertragung:  $v_F = c_0$  und  $v_E \leq c_0$
- Erklärung durch **Maxwell'sche Theorie**
- Kein Spielraum für „neue“ Physik!